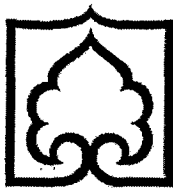


بِسْمِ اللّٰهِ الرَّحْمٰنِ الرَّحِيْمِ



دانشگاه زنجان

دانشکده فنی و مهندسی

گروه عمران

پایان نامه جهت دریافت درجه کارشناسی ارشد

عنوان پایان نامه:

بررسی پتانسیل روانگرایی در آبرفت پی پس از ساخت سد با  
تمرکز بر اصلاح مقاومت پی

تهیه و تنظیم:

رضانقیلو

استاد راهنمای:

دکتر رضا مهین روستا

وزارت اعلیات میراث ملی  
جمهوری اسلامی ایران

۱۳۸۸/۶/۱۱

زمستان ۸۷

۱۱۶۱۹۸

تاریخ: ۸۷/۱۱/۲۱

پیوست

بسمه تعالیٰ



## صور تجلیسه دفاع پایان نامه تحصیلی دوره کارشناسی ارشد

با تأییدات خداوند متعال و با استعانت از حضرت ولی عصر (عج) جلسه دفاع از پایان نامه کارشناسی ارشد آقای رضا نقی لو

رشته: مهندسی عمران (خاک و پی)

تحت عنوان: بررسی پاسیل یوانگرایی در آبرفت پی بس از ساخت سد با تمرکز بر اصلاح مقاومت پی

که در تاریخ ۸۷/۱۱/۲۷ با حضور هیأت محترم داوران در دانشگاه زنجان برگزار گردید به شرح زیر است:

دفاع مجدد  مردود امتیاز: ۱۹۴۹۱ (کلی) قبول (با درجه: کلی)

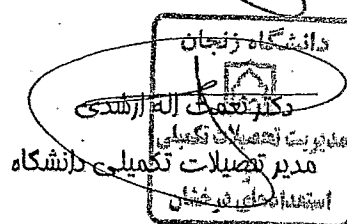
۱. عالی (۱۸-۲۰)

۲. بسیار خوب (۱۶-۱۷/۹۹)

۳. خوب (۱۴-۱۵/۹۹)

۴. قابل قبول (۱۲-۱۳/۹۹)

ردیف	عضو هیأت داوران	نام و نام‌نامه‌ادرکی	رتیه علمی	(مضاء)
۱	استاد راهنمای	دکتر رضا مهین روستا	استادیار	
۲	استاد ممتحن	دکتر محمود یزدانی	استادیار	
۳	استاد ممتحن	دکتر جلال بازرگان	استاد یار	
۴	نماينده تحصيلات تمكيلي	دکتر ابوالفضل جليلوند	استادیار	



مهندس محمد مصطفوی  
معاون آموزشی دانشکده مهندسی

## تقدیم به پدر و مادر عزیزتر از جانم

## تقدیر و تشکر

زندگی صحنهٔ یکتای هنرمندی ماست  
هر کسی نغمهٔ خود خواند و از صحنهٔ رود

صحنهٔ پیوسته به جاست  
خرم آن نغمهٔ که مردم بسپارند به یاد

سپاس پروردگار یگانهٔ یاری رسان را، و درود بر سرورمان محمد (ص) و دودمانش!

خداوند را شاکرم که با الطاف بی‌کران خود به من توفیق داد تا گامی هر چند کوچک در راه تحصیل علم و  
دانش بردارم و از او می‌خواهم که مرا در این مسیر یاری و از لغزش‌های زندگی مصون بدارد.

در اینجا لازم می‌دانم از استاد راهنمای بسیار بزرگوارم جناب آقای دکتر رضا مهین‌روستا که نه تنها در  
زمینهٔ علمی الگوی بندۀ بودند، بلکه حسنات اخلاقی ایشان نیز همواره برای من سرمشق بوده و خواهد  
بود، صمیمانه تقدیر و تشکر کنم.

از دیگر اساتید محترم گروه آقایان دکتر بازرگان، دکتر جوانمرد و دکتر معارفوند نیز که در طول دورهٔ  
کارشناسی ارشد از محضرشان بهره‌مند بوده‌ام، کمال تشکر را دارم.

مراتب سپاس و قدردانی خود را از شرکت مهندسین مشاور مهاب قدس بدليل همکاری مناسب در تهیه  
اطلاعات مورد نیز بیان میدارم.

از تمام دوستاتم که در انجام این پژوهه کمکهای فراوانی نمودند به ویژه آقایان یادی، سلیمانی قره‌گل،  
کاظمی، جعفری، احمدی، خانکی، جلالی، صفایی و خانم رفتی صمیمانه تشکر می‌کنم.

از خانواده عزیزم که وجودشان همواره مایهٔ آرامشم هستند نهایت سپاس و تشکر را دارم.

و من الله التوفيق

رضا نقی لو زمستان ۸۷

## چکیده

ارزیابی پتانسیل روانگرایی سدهای خاکی واقع بر لایه‌های آبرفتی و ماسه‌ای اشبع با دانسیتۀ نسبی پائین در حین زلزله، اهمیت بسیار زیادی دارد. در طی دهه‌های اخیر فرمول‌های تجربی بسیاری برای ارزیابی پتانسیل روانگرایی از سوی محققین مختلف ارائه شده است. مؤثرترین فرمول‌های ارائه شده از نظر تسهیل کاربرد آنها در کارهای مهندسی، فرمول‌هایی هستند که بر اساس عدد نفوذ استاندارد اصلاح شده ارائه شده‌اند. در این فرمولها برای تخمین مقاومت روانگرایی ماسه تمیز در عمقهای مختلف، دو نوع اصلاح شامل اصلاح مقاومت نفوذ به تنش سربار یک اتمسفر ( $C_N$ ) و اصلاح نسبت مقاومت برشی تناوبی (CRR) نسبت به اثرات تنش سربار ( $P_K$ )، انجام می‌شود. این فاکتورها اخیراً با استفاده از شاخص پارامتر وضعیت نسبی (Relative state parameter index) یا ( $R_s$ ) توسط محققین مجدداً مورد محاسبه قرار گرفته‌اند. علاوه بر آن، مفهوم مقاومت نفوذ اصلاح شده، به عنوان یک روش دیگر برای در نظر گرفتن اثر تنش سربار بر روی مقاومت برشی تناوبی مصالح معروفی شده است. هدف اصلی این تحقیق ارزیابی اثر اضافه سربار ناشی از ساخت سد بر روی پتانسیل روانگرایی آبرفت‌های مستعد روانگرایی است. تحلیل‌های استاتیکی و دینامیکی ابتدا بر روی آبرفت طبیعی انجام شده است. سپس تحلیل‌های فوق برای شرایط پایان ساخت و آبگیری نیز تکرار شدند. در ادامه جهت اصلاح خواص رفتاری مصالح در اثر ساخت سد روشنی ارائه شده است که در آن دانسیتۀ نسبی مصالح اصلاح می‌شود. تحلیل‌های فوق برای شرایط پایان ساخت و آبگیری، بعد از اصلاح دانسیتۀ نیز انجام می‌شوند. شبیه سازی عددی روانگرایی در این تحقیق با استفاده از نرم‌افزار تفاضل محدود FLAC4 انجام گرفته است. در ابتدا تحلیل‌های دینامیکی به روش معادل خطی انجام شده است. در روش معادل خطی سه پارامتر مدول برشی حداکثر ( $G_{max}$ )، تغییرات نسبت کاهش مدول ( $G/G_{max}$ ) و میرایی ( $\zeta$ ) با کرنش برشی در نظر گرفته می‌شود. روش حل معادل خطی با استفاده از برنامۀ جانبی (Fish) به نرم‌افزار FLAC4 معرفی شده است. تحلیل‌ها برای سطوح زلزله MCL و MDL و DBL بر روی یک سد انجام شده است. همچنین جهت ارزیابی اثر اعداد نفوذ استاندارد، با اعمال اعداد نفوذ استاندارد ثابت و یکسان به کل پی آبرفتی در سه حالت پائین ( $N_1 = 8$ ), متوسط ( $N_1 = 15$ ) و بالا ( $N_1 = 25$ ) به بررسی پتانسیل روانگرایی پرداخته شده است. در پایان نیز با استفاده از مدل Finn که در نرم‌افزار Flac وجود دارد به بررسی پدیدۀ روانگرایی در پی آبرفتی قبل و بعد از احداث سد پرداخته شده و نتایج بدست آمده از این روش با نتایج قبلی مورد مقایسه قرار گرفته است. با توجه به تحلیل‌های مشاهده می‌شود که با احداث سازه سد، پتانسیل روانگرایی در پی آبرفتی کمتر خواهد شد. در صورتی که اصلاح دانسیتۀ خاک به دلیل ساخت سد نیز انجام شود، با توجه به استحکام مصالح احتمال افزایش یا کاهش ضریب اطمینان در برابر روانگرایی نسبت به عدم اصلاح دانسیتۀ وجود دارد.

وازگان کلیدی: روانگرایی، اضافه فشار سربار، عدد SPT، روش معادل خطی، مدل Finn

## فهرست عناوین:

۱	۱- مقدمه
۱	۱.۱- تعریف روانگرایی
۳	۲- هدف تحقیق
۴	۲- ارزیابی پتانسیل روانگرایی
۴	۲.۱- مکانیزم روانگرایی و ارزیابی پتانسیل وقوع آن
۱۰	۲.۲- مکانیزم ارزیابی نسبت تنش برشی تناوبی (CSR) در تحلیلهای دینامیکی
۱۱	۲.۳- روش‌های ارزیابی نسبت مقاومت برشی تناوبی (CRR)
۱۱	۲.۳.۱- ارزیابی کیفی پتانسیل روانگرایی در خاکها
۱۱	۲.۳.۲- خاکهای دانهای
۱۳	۲.۳.۳- خاکهای چسبنده
۱۷	۲.۳.۴- روش‌های آزمایشگاهی ارزیابی نسبت مقاومت تناوبی
۱۸	۳.۲- روش‌های تطبیقی ارزیابی نسبت مقاومت تناوبی
۲۰	۴.۲- اثر تنش سربار در مقاومت در برابر روانگرایی
۲۷	۴.۳.۲- کارهای اخیر انجام گرفته جهت اصلاح مقاومتها نفوذ
۳۳	۴.۳.۳- سایر اصلاحات مربوط به عدد نفوذ استاندارد SPT
۳۵	۴.۳.۴- روش‌های اخیر جهت ارزیابی نسبت مقاومت تناوبی
۳۵	۵.۲- تخمین CRR براساس $q_{c1\xi}$ و $(N_{1\xi})_{60}$

## ۴.۲- ضرایب اصلاحی بزرگی زلزله

- ۴۱ - اصلاحات لازم جهت تنشهای برشی استاتیکی اولیه و تنشهای سربار بالا
- ۴۲ - اصلاحات لازم جهت تنشهای برشی استاتیکی اولیه
- ۴۶ - ۱.۱.۵.۲- تأثیر پارامتر  $Q_\alpha$  بر
- ۴۷ - ۲.۵.۲- فاکتور اصلاح  $K_\sigma$  برای تنشهای سربار بالا
- ۴۹ - ۱.۲.۵.۲- روابط  $K_\sigma$  معادل بدست آمده از مطالعات اخیر
- ۵۵ - ۳. انجام تحلیل های دینامیکی با استفاده از نرم افزار FLAC
- ۵۵ - ۱.۳- معرفی نرم افزار FLAC
- ۵۶ - ۱.۱.۳- مقایسه با سایر روشها
- ۵۸ - ۲.۱.۳- ویژگیهای کلی
- ۵۸ - ۳.۱.۳- مدلبندی فرآیندها و برهم کنشهای فیزیکی
- ۵۹ - ۴.۱.۳- تحلیل دینامیکی در نرم افزار FLAC
- ۶۰ - ۲.۳- معرفی انواع تحلیلهای دینامیکی
- ۶۰ - ۱.۲.۳- روش معادل خطی
- ۶۲ - ۱.۱.۲.۳- خواص مصالح در تحلیل های دینامیکی به روش معادل خطی
- ۶۲ - ۲.۱.۲.۳- مشخصات روش معادل خطی
- ۶۳ - ۲.۲.۳- مشخصات روشهای کاملاً غیرخطی
- ۶۵ - ۳.۳- ملاحظات لازم در مدل دینامیکی
- ۶۵ - ۱.۳.۳- شرایط مرزی و بارگذاری دینامیکی

۶۶	۲.۳.۳- اعمال ورودی دینامیکی
۶۸	۳.۳.۳- مرزهای ناحیه آزاد (Free field)
۶۹	۴.۳.۳- میرایی در مصالح
۷۰	۱.۴.۳.۳- میرایی سه بعدی
۷۰	۲.۴.۳.۳- میرایی مکانیکی
۷۱	۳.۴.۳.۳- میرایی رابطی
۷۳	۴.۴.۳.۳- میرایی هیترسیس
۷۴	<b>۴.۳- معرفی مدل رفتاری Finn</b>
۷۸	۴- ارزیابی پتانسیل روانگرایی به علت ساخت سد با استفاده از روش معادل خطی
۷۹	۱.۴- مشخصات هندسی و پارامترهای رفتاری تحلیل استاتیکی
	۱.۱.۴- هندسه طرح
۷۹	
۸۱	۲.۱.۴- پارامترهای ژئوتکنیکی مورد استفاده در تحلیل‌های استاتیکی
۸۲	۲.۴- تاریخچه زلزله در سه تراز طراحی
۸۲	۳.۴- پارامترهای دینامیکی مورد استفاده در تحلیل‌های معادل خطی
۸۵	۴.۴- خلاصه روابط مورد استفاده جهت ارزیابی پتانسیل روانگرایی در آبرفت
۹۴	۵.۴- معرفی انواع تحلیلهای انجام شده جهت کنترل روانگرایی
۹۴	۱.۵.۴- ارزیابی پتانسیل روانگرایی پی آبرفتی با روش‌های مرسوم
۹۵	۱.۱.۵.۴- اثر عدد SPT و سطح زلزله در روانگرایی
۱۰۰	۲.۵.۴- ارزیابی پتانسیل روانگرایی پی آبرفتی با استفاده از تحلیل دینامیکی به روش معادل خطی

- ۱۰۴ - بررسی روانگرایی در آبرفت پی پس از ساخت سد ۳.۵.۴
- ۱۰۴ - بررسی روانگرایی پس از ساخت سد بدون اصلاح دانسیته در سطوح مختلف لرزه‌ای ۱.۳.۵.۴
- ۱۱۵ - اصلاح ۶۰ ( $N_1$ ) در پی آبرفتی بدلیل ساخت سد ۴.۵.۴
- ۱۱۹ - ارزیابی روانگرایی پی بعد از ساخت سد و بعد از اصلاح دانسیته ۱.۴.۵.۴
- ۱۲۳ - ارزیابی روانگرایی پس از آبگیری سد ۵.۵.۴
- ۱۲۷ - ارزیابی روانگرایی پس از آبگیری سد با اصلاح دانسیته ۱.۵.۵.۴
- ۱۳۱ - مقایسه ضرایب اطمینان در شرایط مختلف آبرفت ۶.۵.۴
- ۱۳۵ - مطالعه موردي پتانسیل روانگرایی در پی آبرفتی سد سیمینه رود ۷.۵.۴
- ۱۳۵ - بافت تراکمی سد سیمینه رود ۱.۷.۵.۴
- ۱۳۶ - ارزیابی پتانسیل روانگرایی پی آبرفتی سد سیمینه رود در سطوح زلزله مختلف ۲.۷.۵.۴
- ۱۳۹ - ارزیابی پتانسیل روانگرایی سد سیمینه رود پس از ساخت و بعد از اصلاح دانسیته، در سطوح مختلف لرزه‌ای ۳.۷.۵.۴
- ۱۴۱ - سطح زلزله DBL ۱.۳.۷.۵.۴
- ۱۴۳ - سطح زلزله MDL ۲.۳.۷.۵.۴
- ۱۴۵ - سطح زلزله MCL ۳.۳.۷.۵.۴
- ۱۴۵ - ارزیابی پتانسیل روانگرایی پی آبرفتی سد سیمینه رود بعد از آبگیری سد و اصلاح دانسیته مصالح ۴.۷.۵.۴
- ۱۴۷ - سطح زلزله DBL ۱.۴.۷.۵.۴
- ۱۴۹ - سطح زلزله MDL ۲.۴.۷.۵.۴
- ۱۵۱ - سطح زلزله MCL ۳.۴.۷.۵.۴
- ۱۵۱ - مقایسه ضرایب اطمینان در برابر روانگرایی سد سیمینه رود ۵.۷.۵.۴

- ۱۵۴- ارزیابی پتانسیل روانگرایی پی آبرفتی با استفاده از مدل FINN
- ۱۵۴- ۱.۵- تحلیل حساسیت مدل Finn نسبت به پارامترهای آن
- ۱۵۶- ۲.۵- ارزیابی پارامتریک پتانسیل روانگرایی با استفاده از مدل Finn
- ۱۵۷- ۳.۱.۲.۵- ارزیابی پتانسیل روانگرایی پی در حالت  $(N_1)_{60} = 8$
- ۱۶۳- ۳.۲.۵- ارزیابی پتانسیل روانگرایی پی در حالت  $(N_1)_{60} = 15$
- ۱۶۹- ۳.۳.۲.۵- ارزیابی پتانسیل روانگرایی پی در حالت  $(N_1)_{60} = 25$
- ۱۷۵- ۳.۴- ارزیابی پتانسیل روانگرایی پی آبرفتی سد سیمینه رود با استفاده از مدل Finn
- ۱۸۲- ۳.۱.۳.۵- حساسیت مدل Finn به چند پارامتر مؤثر در روانگرایی
- ۱۸۸- ۴- نتیجه گیری و پیشنهادات
- ۱۸۸- ۴.۱- نتایج حاصل از مدل معادل خطی
- ۱۸۹- ۴.۲- نتایج حاصل از مدل غیرخطی FINN
- ۱۹۰- ۴.۳- پیشنهادات

## فهرست اشکال:

- شكل ۲-۲. نتایج  $r_d$  از تحلیلهای پاسخ برای ۲۱۵۳ ترکیب شرایط محلی و حرکات زمین که توسط خطوط روی هم نشان داده شده‌اند (الف) مقادیر قبلی پیشنهاد شده توسط سید و ادریس (۱۹۷۱) و (ب) مقادیر متوسط و  $\pm 1$  انحراف معیار برای ۲۱۵۳ حالت تحلیل شده [چتین و سید (۲۰۰۰)] ..... ۶
- شكل ۲-۳. مقادیر  $r_d$  در برابر عمق ارائه شده توسط سید و ادریس (۱۹۷۱) و خطوط مقادیر متوسط که با استفاده از معادله (۲) به آن اضافه شده است ..... ۷
- شكل ۲-۴. تغییرات ضریب کاهش تنش با عمق و بزرگی زلزله [ادریس ۱۹۹۹] ..... ۸
- شكل ۲-۴. نتایج  $r_d$  حاصل از پاسخ لرزهای بیش از ۲۱۵۳ محل، به صورت تابعی از شتاب ماکزیمم سطح ( $a_{max}$ ، سختی محل ( $V_{s,40ft}$ ) و بزرگی زلزله ( $M_W$ ) [چتین و همکاران (۲۰۰۱)، (ادامه دارد ....)] ..... ۱۰
- شكل ۲-۴. نتایج  $r_d$  حاصل از پاسخ لرزهای بیش از ۲۱۵۳ محل، به صورت تابعی از شتاب ماکزیمم سطح ( $a_{max}$ ، سختی محل ( $V_{s,40ft}$ ) و بزرگی زلزله ( $M_W$ ) (ادامه دارد ....)] ..... ۱۱
- شكل ۲-۴. نتایج  $r_d$  حاصل از پاسخ لرزهای بیش از ۲۱۵۳ محل، به صورت تابعی از شتاب ماکزیمم سطح ( $a_{max}$ ، سختی محل ( $V_{s,40ft}$ ) و بزرگی زلزله ( $M_W$ )) ..... ۱۲
- شكل ۲-۵. تاریخچه تنش برشی تناوبی در عمق ۲۲/۵ متری از سطح زمین، تحت زلزله DBL ..... ۱۳
- شكل ۲-۶. نمودار تعیین امکان روانگرایی از روی منحنی دانه بندی [ایشی هارا ۱۹۸۰] ..... ۱۵
- شكل ۲-۷. معیار روانگرایی چینیها برای خاکهای ریزدانه، [ونگ (۱۹۷۹)] ..... ۱۶
- شكل ۲-۸. معیار اصلاح شده چینیها (بعد از ونگ ۱۹۷۹)، [سید و ادریس (۱۹۸۲)] ..... ۱۷
- شكل ۲-۹. معیار پیشنهادی اندرو و مارتین (۲۰۰۰) برای ارزیابی استعداد روانگرایی خاکهای ریزدانه ..... ۱۸
- شكل ۲-۱۰. نمودار پلاستیسیته که بیانگر پیشنهادات ارائه شده توسط سید (۲۰۰۳) و حدود اتربرگ خاکهای ریزدانه ارائه شده توسط بَری و همکاران (۲۰۰۴) که از نتایج مربوط به ۱۲ ساختمان روانگرایی شده در اثر زلزله کوکائی (۱۹۹۹) بدست آمده است ..... ۱۹
- شكل ۲-۱۱. رابطه مابین نسبت مقاومت تناوبی و  $N_1$  و برای زلزله با بزرگی ۷/۵ ..... ۲۲

شكل ۱۲-۲. ضریب اصلاح SPT برای فشار سربار اضافی و پیش تحکیمی (الف) فاکتور اصلاحی برای فشار سربار اضافی (لیائو و وایتمن ۱۹۸۵، جامیلکووسکی و همکاران ۱۹۸۵) (ب) فاکتور اصلاحی برای افزایش در تنش متوسط بر اثر تحکیم اضافی (لیائو و وایتمن ۱۹۸۵، تاکی ماتسو ۱۹۸۸) ..... ۲۸

شكل ۱۳-۲. منحنیهای  $C_N$  برای ماسههای گوناگون براساس دادههای محلی و آزمایشهای آزمایشگاهی همراه با منحنی  $C_N$  پیشنهادی که توسط معادلات (۳۱-۲) و (۳۲-۲) تعیین میشوند (اصلاح شده از طرف کاسترو ۱۹۹۵) ..... ۳۰

شكل ۱۴-۲. فاکتور اصلاح سربار اضافی  $C_N$  با استفاده از روابط (۳۸-۲) و (۳۹-۲)، [بولانژر ۲۰۰۴] ..... ۳۲

شكل ۱۵-۲. نمودار تعیین شاخص پارامتر وضعیت نسبی ( $\xi_R$ )، [بولانژر ۲۰۰۴] ..... ۳۳

شكل ۱۶-۲. فاکتور اصلاح  $\xi$  برای محدوده  $N_1$  با استفاده از معادله (۴۶-۲)، [بولانژر ۲۰۰۴] ..... ۳۵

شكل ۱۷-۲. فاکتور اصلاح  $\xi$  برای محدوده  $q_{c1N}$  با استفاده از معادله (۴۸-۲)، [بولانژر ۲۰۰۴] ..... ۳۵

شكل ۱۸-۲. روابط  $N_1$  - CRR برای یک محدوده تنشهای سربار اضافی مؤثر و رابطه یکتا و واحد - CRR ..... ۳۹

شكل ۱۹-۲. رابطه بزرگی زلزله، تعداد سیکلهای لازم جهت روانگرایی و نسبت تنش تناوبی، [سید و ادريس ۱۹۸۲] ..... ۴۱

شكل ۲۰-۲. محدوده پیشنهادی اعضای گروه کاری NCEER برای فاکتورهای مقیاس بزرگی ..... ۴۳

شكل ۲۱-۲. مقادیر فاکتور بزرگی مقیاس [ادريس ۱۹۹۹] ..... ۴۴

شكل ۲۲-۲. تنش برشی و تنش عمودی مؤثر بر صفحات عمودی و افقی در یک المان از خاک ..... ۴۵

شكل ۲۳-۲. تغییرات  $K_\alpha$  براساس تعداد ضربات نفوذ استاندارد SPT، [هارد و بولانژر ۱۹۹۷] ..... ۴۷

شكل ۲۴-۲. تغییرات  $K_\alpha$  بر حسب  $\alpha$  برای شاخص های پارامتر وضعیت نسبی گوناگون ..... ۴۸

شكل ۲۵-۲. مقادیر  $K_\alpha$  بدست آمده از تحقیقات مختلف، [سید و هارد ۱۹۹۰] ..... ۵۰

شكل ۲۶-۲. داده های آزمایشگاهی و منحنیهای  $K_\alpha$  گردآوری شده [هاینز و اولسن ۱۹۹۹] ..... ۵۱

شكل ۲۷-۲. ضریب  $K_\alpha$  در اصلاح CRR، [گروه کاری NCEER] ..... ۵۲

شكل ۲۸-۲. روابط استخراج شده از روابط  $\xi_R$ ، [بولانژر ۲۰۰۴] ..... ۵۴

..... شکل ۲-۲. حساسیت روابط $K_0$ و $Q$ ، [بولانژر ۲۰۰۴]	۵۴
..... شکل ۳-۱. شرایط مرزی بارگذاری دینامیکی در حالت مرز انعطاف‌پذیر	۶۵
..... شکل ۳-۲. شرایط مرزی بارگذاری دینامیکی در حالت مرز صلب	۶۶
..... شکل ۳-۳. مدلی برای تحلیلهای لرزه‌های سازه‌های سطحی و شبکه مرز آزاد	۶۸
..... شکل ۳-۴. تغییرات نسبت میرایی بحرانی اصلاح شده با فرکانس زاویه‌ای	۷۳
..... شکل ۴-۱. مقطع عرضی و نواحی مختلف بدنه سد در تحلیلهای تنش-کرنش، [گزارش خصوصیات ژئوتکنیکی شرکت مهاب قدس]	۸۱
..... شکل ۴-۲. تاریخچه زلزله طرح در شرایط MCL MDL DBL	۸۲
..... شکل ۴-۳. تغییرات نسبت مدول برشی با کرنش برشی در نواحی مختلف مدل	۸۴
..... شکل ۴-۴. تغییرات نسبت میرایی با کرنش برشی در نواحی مختلف مدل	۸۴
..... شکل ۴-۵. کانتورهای (الف) اعداد نفوذ استاندارد $N_1$ (ب) ضریب $C_N$ پ) اعداد نفوذ استاندارد اصلاح شده $N_{60}$	۹۱
..... شکل ۴-۶. کانتورهای (الف) ضریب $K_\alpha$ ب) ضریب $CRR$ ۷.۵ پ) نسبت مقاومت تناوبی	۹۲
..... شکل ۴-۷-۴. کانتورهای (الف) نسبت مقاومت تناوبی نهایی بعد از اعمال کلیه ضرایب (CRR <sub>final</sub> ) ب) نسبت تنش برشی تناوبی ناشی از زلزله CSR	۹۲
..... شکل ۴-۸. شبکه المانهای ایجاد شده پی آبرفتی در نرم افزار FLAC	۹۵
..... شکل ۴-۹. عمقهای مورد نظر برای ارزیابی پتانسیل روانگرایی در شبکه پی آبرفتی	۹۶
..... شکل ۴-۱۰. مقایسه ضرایب اطمینان در برابر روانگرایی در عمق ۱۵ متری به سه روش ارائه شده تحت زلزله	۹۸
..... شکل ۴-۱۱. مقایسه ضرایب اطمینان در برابر روانگرایی در عمق ۱۵ متری به سه روش ارائه شده تحت زلزله	۹۹
..... شکل ۴-۱۲. مقایسه ضرایب اطمینان در برابر روانگرایی در عمق ۱۵ متری به سه روش ارائه شده تحت زلزله	۱۰۰

۹۹..... $(N_1)_{60} = 8$ )

شکل ۴-۱۳. کانتورهای ضریب اطمینان در  $8 (N_1)_{60}$  در سطوح زلزله DBL، MDL و MCL

شکل ۴-۱۴. کانتورهای ضریب اطمینان در  $15 (N_1)_{60}$  در سطوح زلزله DBL، MDL و MCL

شکل ۴-۱۵. کانتورهای ضریب اطمینان در  $25 (N_1)_{60}$  در سطوح زلزله DBL، MDL و MCL

شکل ۴-۱۶. ضرایب اطمینان پس از ساخت سد با استفاده از سه روش تحت زلزله DBL در حالت

شکل ۴-۱۷. ضرایب اطمینان پس از ساخت سد با استفاده از سه روش تحت زلزله MDL در حالت

شکل ۴-۱۸. ضرایب اطمینان پس از ساخت سد با استفاده از سه روش تحت زلزله MCL در حالت

شکل ۴-۱۹. ضرایب اطمینان پس از ساخت سد با استفاده از سه روش تحت زلزله DBL در حالت

شکل ۴-۲۰. ضرایب اطمینان پس از ساخت سد با استفاده از سه روش تحت زلزله MDL در حالت

شکل ۴-۲۱. ضرایب اطمینان پس از ساخت سد با استفاده از سه روش تحت زلزله MCL در حالت

شکل ۴-۲۲. ضرایب اطمینان پس از ساخت سد با استفاده از سه روش تحت زلزله DBL در حالت

شکل ۴-۲۳. ضرایب اطمینان پس از ساخت سد با استفاده از سه روش تحت زلزله MDL در حالت

شکل ۴-۲۴. ضرایب اطمینان پس از ساخت سد با استفاده از سه روش تحت زلزله MCL در حالت

شکل ۴-۲۵. کانتورهای (الف) کرنش حجمی ایجاد شده در پی آبرفتی (ب) اعداد نفوذ استاندارد بعد از اصلاح دانسیته برای

شکل ۴-۲۶. ضرایب اطمینان در شرایط پایان ساخت پس از اصلاح دانسیته در حالت

شکل ۴-۲۷. ضرایب اطمینان در شرایط پایان ساخت پس از اصلاح دانسیته در حالت

شکل ۴-۲۸. ضرایب اطمینان در شرایط پایان ساخت پس از اصلاح دانسیته در حالت

شکل ۴-۲۹. ضرایب اطمینان در برابر روانگرایی در شرایط آبگیری و در حالت

- شکل ۴-۳۰. ضرایب اطمینان در برابر روانگرایی در شرایط آبگیری و در حالت ۱۵  $(N_1)_{60} = 15$  ..... ۱۲۵
- شکل ۴-۳۱. ضرایب اطمینان در برابر روانگرایی در شرایط آبگیری و در حالت ۲۵  $(N_1)_{60} = 25$  ..... ۱۲۶
- شکل ۴-۳۲. ضرایب اطمینان در برابر روانگرایی در شرایط آبگیری با اصلاح دانسیته و در حالت ۸  $(N_1)_{60} = 8$  ..... ۱۲۸
- شکل ۴-۳۳. ضرایب اطمینان در برابر روانگرایی در شرایط آبگیری با اصلاح دانسیته و در حالت ۱۵  $(N_1)_{60} = 15$  ..... ۱۲۹
- شکل ۴-۳۴. ضرایب اطمینان در برابر روانگرایی در شرایط آبگیری با اصلاح دانسیته و در حالت ۲۵  $(N_1)_{60} = 25$  ..... ۱۳۰
- شکل ۴-۳۵. کانتورهای ضریب اطمینان در حالت ۸  $= N_1_{60}$  و تحت زلزله DBL ..... ۱۳۲
- شکل ۴-۳۶. کانتورهای ضریب اطمینان در حالت ۱۵  $= N_1_{60}$  و تحت زلزله DBL ..... ۱۳۳
- شکل ۴-۳۷. کانتورهای ضریب اطمینان در حالت ۲۵  $= N_1_{60}$  و تحت زلزله DBL ..... ۱۳۴
- شکل ۴-۳۸. اعداد نقوذ استاندارد  $N_{60}$  و  $N_1_{60}$  در پروفیل به موازات محور رودخانه ..... ۱۳۶
- شکل ۴-۳۹. ضرایب اطمینان در برابر روانگرایی در پی آبرفتی سد سیمینه رود (قبل از ساخت سازه سد) و در سطوح مختلف لرزه‌ای ..... ۱۳۸
- شکل ۴-۴۰. کانتورهای ضریب اطمینان در برابر روانگرایی سد سیمینه رود تحت سطح زلزله DBL ..... ۱۴۰
- شکل ۴-۴۱. کانتورهای ضریب اطمینان در برابر روانگرایی سد سیمینه رود تحت سطح زلزله MDL ..... ۱۴۲
- شکل ۴-۴۲. کانتورهای ضریب اطمینان در برابر روانگرایی سد سیمینه رود تحت سطح زلزله MDL ..... ۱۴۴
- شکل ۴-۴۳. کانتورهای ضریب اطمینان در برابر روانگرایی سد سیمینه رود در شرایط آبگیری تحت زلزله DBL ..... ۱۴۶
- شکل ۴-۴۴. کانتورهای ضریب اطمینان در برابر روانگرایی سد سیمینه رود در شرایط آبگیری تحت زلزله MDL ..... ۱۴۸
- شکل ۴-۴۵. کانتورهای ضریب اطمینان در برابر روانگرایی سد سیمینه رود در شرایط آبگیری تحت زلزله MCL ..... ۱۵۰
- شکل ۴-۴۶. ضرایب اطمینان در برابر روانگرایی در سطح زلزله DBL در عمق (الف) ۵ متری ب) ۱۵ متری ..... ۱۵۲
- شکل ۴-۴۷. ضرایب اطمینان در برابر روانگرایی در سطح زلزله MCL در عمق (الف) ۵ متری ب) ۱۵ متری ..... ۱۵۳
- شکل ۵-۱. تغییرات کرنش حجمی در برابر کرنش برشی بر اساس مدل باiren (۱۹۹۱) ..... ۱۵۵

- شکل ۵-۲. تغییرات نرخ کرنش حجمی در برابرکرنش پرشی بر اساس مدل بایرن (1991) ..... ۱۵۶
- شکل ۵-۳. نقاط مورد نظر جهت بررسی افزایش فشار آب حفره‌ای و کاهش تنش مؤثر در پی آبرفتی ..... ۱۵۷
- شکل ۵-۴. مقادیر ماکزیمم نسبت فشار آب حفره‌ای در شرایط الف) آبرفت طبیعی ب) پایان ساخت در حالت زلزله DBL<sub>(N<sub>1</sub>)<sub>60</sub></sub> = 8 ..... ۱۵۹
- شکل ۵-۵. نمودار کاهش تنش مؤثر میانگین در شرایط الف) آبرفت طبیعی ب) پایان ساخت سد در نقاط A و B تحت زلزله DBL در حالت 8 DBL<sub>(N<sub>1</sub>)<sub>60</sub></sub> = 8 ..... ۱۶۰
- شکل ۵-۶. نمودار افزایش فشار آب حفره‌ای در شرایط الف) آبرفت طبیعی ب) پایان ساخت سد در نقاط A و B تحت زلزله DBL در حالت 8 DBL<sub>(N<sub>1</sub>)<sub>60</sub></sub> = 8 ..... ۱۶۱
- شکل ۵-۷. مقادیر ماکزیمم (r<sub>u</sub>) در شرایط الف) پایان ساخت با و بدون اصلاح دانسیته ب) آبگیری با و بدون اصلاح دانسیته در حالت 8 DBL<sub>(N<sub>1</sub>)<sub>60</sub></sub> در عمق ۱۵ متری تحت زلزله ..... ۱۶۲
- شکل ۵-۸. مقادیر ماکزیمم نسبت فشار آب حفره‌ای در شرایط الف) آبرفت طبیعی ب) پایان ساخت در حالت زلزله DBL<sub>(N<sub>1</sub>)<sub>60</sub></sub> = 15 ..... ۱۶۵
- شکل ۵-۹. نمودار کاهش تنش مؤثر میانگین در شرایط الف) آبرفت طبیعی ب) پایان ساخت سد در نقاط A و B تحت زلزله DBL در حالت 15 DBL<sub>(N<sub>1</sub>)<sub>60</sub></sub> = 15 ..... ۱۶۶
- شکل ۵-۱۰. نمودار افزایش فشار آب حفره‌ای در شرایط الف) آبرفت طبیعی ب) پایان ساخت سد در نقاط A و B تحت زلزله DBL در حالت 15 DBL<sub>(N<sub>1</sub>)<sub>60</sub></sub> = 15 ..... ۱۶۷
- شکل ۵-۱۱. مقادیر ماکزیمم (r<sub>u</sub>) در شرایط الف) پایان ساخت با و بدون اصلاح دانسیته ب) آبگیری با و بدون اصلاح دانسیته در حالت 8 DBL<sub>(N<sub>1</sub>)<sub>60</sub></sub> در عمق ۱۵ متری تحت زلزله ..... ۱۶۸
- شکل ۵-۱۲. مقادیر ماکزیمم نسبت فشار آب حفره‌ای در شرایط الف) آبرفت طبیعی ب) پایان ساخت در حالت زلزله DBL<sub>(N<sub>1</sub>)<sub>60</sub></sub> = 25 ..... ۱۷۱
- شکل ۵-۱۳. نمودار کاهش تنش مؤثر میانگین در شرایط الف) آبرفت طبیعی ب) پایان ساخت سد در نقاط A و B تحت زلزله DBL در حالت 25 DBL<sub>(N<sub>1</sub>)<sub>60</sub></sub> = 25 ..... ۱۷۲
- شکل ۵-۱۴. افزایش فشار آب حفره‌ای در شرایط الف) آبرفت طبیعی ب) پایان ساخت سد در نقاط A و B تحت زلزله DBL در حالت 25 DBL<sub>(N<sub>1</sub>)<sub>60</sub></sub> = 25 ..... ۱۷۳

- شکل ۵-۱۵. مقادیر ماکزیمم ( $\Gamma_{u}$ ) در شرایط الف) پایان ساخت با و بدون اصلاح دانسیته ب) آبگیری با و بدون اصلاح دانسیته در حالت  $25 = N_{60}$  (در عمق ۱۵ متری تحت زلزله DBL ..... ۱۷۴
- شکل ۵-۱۶. ضرایب  $C_1$  و  $C_2$  اختصاص یافته به پی آبرفتی سد سیمینه رود در مدل بایرن (۱۹۹۱) ..... ۱۷۶
- شکل ۵-۱۷. مقادیر  $\Gamma_u$  در پی سد سیمینه رود در شرایط الف) آبرفت طبیعی ب) پایان ساخت بدون اصلاح دانسیته پ) پایان ساخت با اصلاح دانسیته ..... ۱۷۸
- شکل ۵-۱۸. مقادیر  $\Gamma_u$  در پی سد سیمینه رود در شرایط الف) آبرفت طبیعی ب) آبگیری بدون اصلاح دانسیته پ) آبگیری با اصلاح دانسیته ..... ۱۷۹
- شکل ۵-۱۹. مقادیر ماکزیمم ( $\Gamma_u$ ) در پی آبرفتی سد سیمینه رود در شرایط الف) پایان ساخت با و بدون اصلاح دانسیته ب) آبگیری با و بدون اصلاح دانسیته در عمق ۱۵ متری تحت زلزله DBL ..... ۱۸۰
- شکل ۵-۲۰. مقادیر ماکزیمم ( $\Gamma_u$ ) در پی آبرفتی سد سیمینه رود در شرایط الف) پایان ساخت با و بدون اصلاح دانسیته ب) آبگیری با و بدون اصلاح دانسیته در عمق ۷/۵ متری تحت زلزله DBL ..... ۱۸۱
- شکل ۵-۲۱. مقادیر ماکزیمم نسبت فشار آب حفره ای  $\Gamma_u$  در پی آبرفتی سد سیمینه رود تحت زلزله DBL با شتابهای (الف)  $2g$ ، (ب)  $3g$ ، (پ)  $4g$  ..... ۱۸۳
- شکل ۵-۲۲. تاریخچه شتاب قائم واردہ بر پی آبرفتی ..... ۱۸۴
- شکل ۵-۲۳. نتایج مقادیر نسبت فشار آب حفره‌ای ماکزیمم تحت اثر الف) زلزله افقی ب) زلزله قائم، (MDL) ..... ۱۸۵
- شکل ۵-۲۴. مقادیر نسبت فشار آب حفره‌ای ماکزیمم تحت اثر زلزله افقی MDL در مدول بالکهای برابر با الف)  $2e5$  ب)  $1e8$  ..... ۱۸۷

## فهرست جداول:

جدول ۲-۱. فاکتورهای مؤثر در مقاومت دینامیکی نفوذگرها در خاکهای دانهای	۲۵
جدول ۲-۲. ضرایب اصلاحی مربوط به عدد نفوذ استاندارد SPT [یاد و همکاران ۱۹۰۱]	۳۷
جدول ۲-۳. فاکتورهای مقیاس بزرگی ارائه شده توسط محققین مختلف (یاد و نوبل ۱۹۹۷)	۴۲
جدول ۲-۴. تأثیر پارامتر $K_\alpha$ بر مقادیر $Q$	۴۹
جدول ۳-۱. روند آزمایش برای اندازه گیری مشخصات میرابی و مدول (سید و ادريس، ۱۹۷۰)	۶۴
جدول ۴-۱. پارامترهای مورد استفاده در پی آبرفتی و دیوار آب بند، [گزارش مهاب قدس]	۸۱
جدول ۴-۲. پارامترهای مورد استفاده در بدنه سد سیمینه رود، [گزارش مهاب قدس]	۸۱
جدول ۴-۳. مدول برشی حداکثر برای بدنه سد	۸۳
جدول ۴-۴. ضرایب و پارامترهای مورد محاسبه در عمقهای مختلف در $N_1(60) = 8$	۹۶
جدول ۴-۵. ضرایب و پارامترهای مورد محاسبه در عمقهای مختلف در $N_1(60) = 15$	۹۷
جدول ۴-۶. ضرایب و پارامترهای مورد محاسبه در عمقهای مختلف در $N_1(60) = 25$	۹۷

# فصل اول

مقدمہ